

北海道大学 学生員 ○ 岩谷 繁
 " 正員 佐伯 昇
 " " 高田 宣之

1. まえがき

AE(アコースティック・エミッション)法は、変形とか破壊機構の解明など材料学の分野において、新しい測定手段として注目されている。本研究では、コンクリート供試体に段階的に圧縮荷重をかけ、AE装置によりその各荷重段階ごとのひびわれ信音を捕え、このひびわれ信音がコンクリート内部の破壊の進行と対応するものとして、コンクリートの強度分布関数を推定した。その結果、強度分布関数はWeibullの分布関数と類似の形を示していた。さらに、この分布関数を用いてコンクリートの圧縮強度および応力-ひずみ曲線の推定を試みた。

2. 実験方法

材料は、普通ボルトランドセメント、細骨材として豊浦の標準砂を、また粗骨材としてガラス球(直径12mm, E=602t/cm²)を使用した。ただし、粗骨材としてのガラス球は、モルタルマトリックスとの界面の付着性状を変化させるため、表面状態を次の2種類とした。R0(パラフィンで表面処理して付着なし), R1(普通のガラス表面のまま)である。コンクリートの配合は、水・セメント比(w/c)=60%, 砂・セメント重量比(S/c)=2, 粗骨材・セメント重量比(G/c)=1.2, 3, 4の4種類とした。供試体は、Φ5×10cmの円柱供試体である。モルタルの配合も、w/c=60%, S/c=2である。養生は、打設後1日は型枠のまま温潤養生し、打設後実験までは20℃の水槽で養生した。材令は28日とした。

3. 実験結果および考察

コンクリート内での、微視的破壊の際、発生する弾性波をAE装置により、音響的に捕えることによって、コンクリートのひびわれ伝播過程を調べた。ひびわれ信音が、コンクリート内部の破壊の進行を示すものとすれば、内部の破壊確率S(α)

$$S(\alpha) = \frac{\sum n_i}{N+1} \quad \text{--- (1)}$$

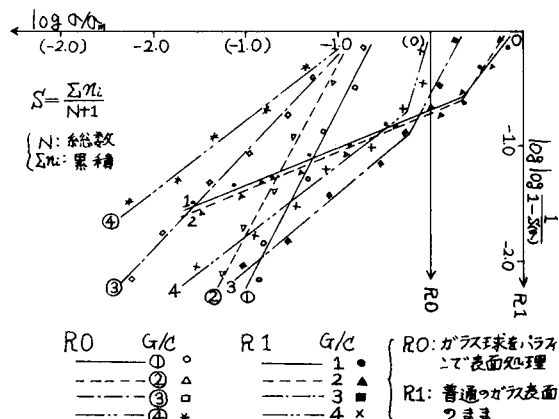
(n_i: 各荷重段階ごとのひびわれ発生音数)
 (N: 全ひびわれ発生音数)

となり、図1より、コンクリートの場合、 $\log \ln \frac{1}{1-S(\alpha)}$ と $\log \alpha$ (ηはモルタルマトリックスの破壊強度)との関係は、R0では1本の直線であるが、R1は2本の直線で表わされる。ここでは、最小自乗法により、 $y=mx+b$ と1本の直線で表わすと、

$$\ln \ln \frac{1}{1-S(\alpha)} = m \ln \frac{\alpha}{\eta_m} + b \quad \text{--- (2)}$$

ここで $\eta_m = e^{-\frac{b}{m}}$ とおくと、

$$S(\alpha) = 1 - e^{-(\alpha/\eta_m)^m} \quad \text{--- (3)}$$



[図-1 AE装置による実験データー]

G/c	R0				R1			
	1	2	3	4	1	2	3	4
k_{10}	0.0691	0.726	0.501	0.196	-0.266	-0.263	0.0952	0.251
m	1.49	2.54	1.46	1.09	0.830	0.890	1.43	1.42
k_e	0.993	2.51	1.99	1.29	0.221	0.228	1.05	1.41

ただし $k_e = k_{10} \ln 10 + \ln k_{10}$

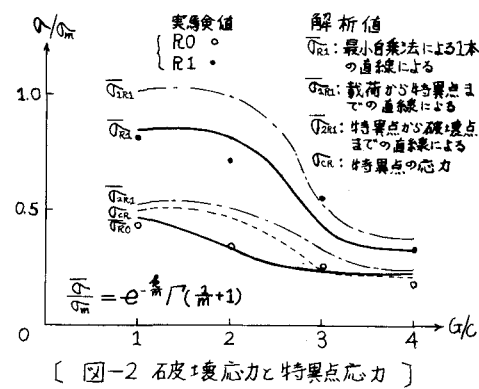
[表-1 mとkの値]

故に、コンクリートのひびわれ伝播過程は、Weibullの関数に類似したものであることがわかる。応力ひびでコンクリート内部が破壊する確率は、 $S(\alpha) = 1 - e^{-(\frac{\alpha}{\alpha_0})^m}$ で、これは累積分布関数であるから、応力 α による内部破壊の確率密度関数 $f(\alpha)$ は、 $f(\alpha) = \int_{\alpha}^{\infty} S(\alpha') d\alpha'$ より

$$f(\alpha) = \frac{m}{\alpha_0} \left(\frac{\alpha}{\alpha_0} \right)^{m-1} e^{-\left(\frac{\alpha}{\alpha_0} \right)^m} \quad \dots \dots \dots (4)$$

従って、平均破壊応力は、 $\bar{\alpha} = \int_{0}^{\infty} \alpha f(\alpha) d\alpha$ より

$$\frac{\bar{\alpha}}{\alpha_0} = e^{-\frac{1}{m}} / \Gamma \left(\frac{1}{m} + 1 \right) \quad \dots \dots \dots (5)$$



[図-2 石皮破壊応力と特異点応力]

(Γ : ガンマ関数, α_0 : モルタルマトリックス強度) 表1は図1の直線を1本として、最小自乗法により求めた直線の係数 m , α_0 である。また図2は、表1, 2の m , α_0 を(5)式に代入して $\bar{\alpha}_0/\alpha_0$ を求めたものである。 $\bar{\alpha}_0/\alpha_0$ は、図1のR₁の直線で載荷点から直線の折れる特異点までの1本の直線の m , α_0 により求めたもので、 $\bar{\alpha}_0/\alpha_0$ は、特異点から破壊点までの後半の直線により求めたものである。この特異点は、付着ひびわれとマトリックスひびわれに関係すると考えられる、確率論的なものである。2本の直線を1本に仮定して求めた破壊強度 $\bar{\alpha}_0/\alpha_0$ が $\bar{\alpha}_0/\alpha_0$ と $\bar{\alpha}_0/\alpha_0$ との間にあって、いる。破壊強度の実験値とAE法により求めた解析値とがほぼ一致した値を示した。なお $\bar{\alpha}_0/\alpha_0$ はR₁の特異点の応力である。

応力ひびでコンクリート内部が破壊する確率は $S(\alpha) = 1 - e^{-(\frac{\alpha}{\alpha_0})^m}$ であるから、応力ひびで破壊せしむる確率は $e^{-(\frac{\alpha}{\alpha_0})^m}$ である。応力ひびを破壊していない部分で受け持つのであるから、初期弾性係数を E_i （まだ内部破壊を起こしていな）とすると、応力ひびとひずみとの関係は、

$$\frac{\sigma}{e^{-(\frac{\alpha}{\alpha_0})^m}} = E_i \epsilon \quad \therefore \epsilon = \frac{\sigma}{E_i} e^{-(\frac{\alpha}{\alpha_0})^m} \quad \dots \dots \dots (6)$$

であると考えられる。図3, 4は式(6)により、R₀, R₁

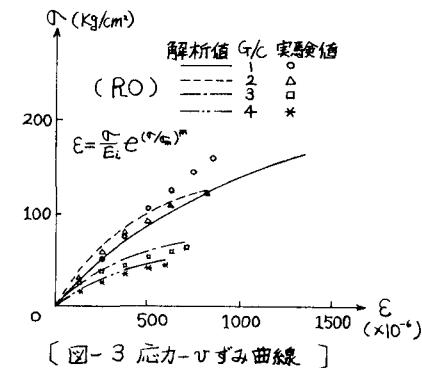
について、ひびとひずみの関係を求めたものと実験値との比較である。骨材量が多い場合、(6)式の仮定よく一致し、解析値はよい近似を与えていた。

4. 結論

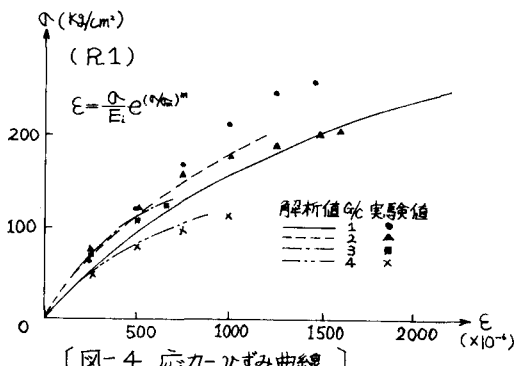
- (1) コンクリートの破壊には、確率的に変化する特異点が存在し、図1のように2本の直線で表わされ、その各直線形は、Weibullの分布関数と同じであった。
- (2) AE装置によりコンクリート内部のひびわれ信号の挙動を確率論的に調べた結果、コンクリートの破壊応力および変形性状を求めることができ、破壊挙動の説明が可能であることが判明した。

〈参考文献〉 Weibull, W. 1939 a, Ingen Vetenst Akad Handl., 153

“A statistical theory of the strength of materials,”



[図-3 応力-ひずみ曲線]



[図-4 応力-ひずみ曲線]